

Research Paper



Monitoring the Quality Changes of Surface Water Resources Affected by Earthquakes (case study: Sarpol Zahab-Ezgole Earthquake on 21 November, 2016)



Ali Abdol Maleki¹, Amjad Maleki^{2*}, Ali Khazaie³



This paper is an open access and licenced under the CC BY NC licence.



DOI: 10.22034/HYD.2023.54570.1666

Reference to this article: Abdol Maleki, A; Maleki, A; Khazaie, A (2023). Monitoring the Quality Changes of Surface Water Resources Affected by Earthquakes (case study: Sarpol Zahab-Ezgole Earthquake on 21 November, 2016). *Hydrogeomorphology*, 10(35): 16-33.

Keywords

Earthquake, STARFM algorithm, Qualitative changes of water resources, SNAP SANTINEL, Sarpol Zahab.

Receive Date: 2022/12/21

Accept Date: 2023/07/03

Available: 2023/07/21

A B S T R A C T

In addition to damaging structural effects, earthquakes also have adverse environmental effects, including polluting water resources. In this article, the quality changes of surface water resources due to earthquakes are monitored. In the present research, in order to achieve the above goal, by using various data from Sunnynell 1 satellites, optical data from Landsat 8, and Madis satellite images, the data has been unified in such a way that they can be used together in the form of a dataset for processing. be placed in this research, by using the combination of satellite images (radar and optics), the Starfam algorithm, the spectral signature of Sentinel 1 data and the use of remote sensing indicators (MNDWI, NDVI and RGB color combination), water resources The studied area was identified and then the quality changes of surface water resources affected by the earthquake were obtained in the environment of ARC GIS and SNAP SANTINEL software. The results show that the earthquake caused shaking and displacement of the surface and subsurface layers of the earth and due to the karstic location of the studied area, it caused an increase in the concentration of dissolved anions and cations in water. In the studied area, the role of faults is very obvious. According to the geological structure of Zagros, Sarpol-Zahab city has numerous faults and the most changes of water resources are located in the main path of the faults and follow the fault lines of the region. Also, in terms of geology.

*** Corresponding Author:** Eisa Jokar Sarhangi

E-mail: a.maleki@razi.ac.ir

1. Ph.D. student in Geomorphology, Razi University, Kermanshah, Iran.

2. Associate Professor (Geomorphology), Razi University, Kermanshah, Iran.

3. Laboratory Expert, Razi University. Kermanshah, Iran.

Extended Abstract

Introduction

Iran is among the countries that are located on an earthquake belt, as news of earthquakes across the country is heard every day. Earthquakes not only leave destructive impacts on human-made structures but also have harmful effects on the biological environment. Earthquakes could also cause surface and groundwater pollution (qualitative changes). Using remote sensing technologies in various earth sciences is more common than ground methods due to their wide coverage of satellite images, up-to-date images, and low costs. Major features of satellite images help evaluate and monitor such dynamic phenomena as the qualitative changes of water resources in temporal and spatial dimensions. Optical data are significantly affected by environmental factors. Unlike optical sensors, radar data, while being independent of climate conditions, can provide more information. Therefore, a combination of various features of optical images and radar data using remote sensing technology can provide complete insight into the intended target and present a higher reliability and validity for the results that are obtained.

This study monitors the qualitative changes in surface water resources as a result of the Sarpol Zahab-Ezgole earthquake using various data of Sentinel 1 Satellite images, Landsat data, and MODIS satellite images (MOD09). It also combines satellite images (both radar and optical data), the STARFM algorithm, the Spectral Signature of Sentinel 1 data, as well as remote sensing indices to identify surface waters and then their qualitative changes as affected by the earthquake in the ARC GIS, and SNAP SANTINEL software environment. Results indicate that earthquakes increase the concentration of the anions and cations solution of surface water resources, which makes it impossible to use water resources for the subsequent few days, due to the karstic, geological, and fault location of the region under study. Results also suggested that faults played a major role in the region under study, with the highest changes of water resources occurring on the main path of the regional faults, as the highest water resource changes were noted in the lime Asmari Formation from a geological perspective.

2-Materials and Procedure

This study used the geological map (1:100000) (National Geological Survey), and Digital Elevation Model (DEM) (12.5 m); also, to determine the qualitative changes of surface water resources, the study used the images of three satellites, namely, Landsat 8 (Nov. 10, 2017), Sentinel 1 (Nov. 10, 2017, and Nov. 17, 2017), and a series of MODIS satellite products (Nov. 11, 2017 and Nov. 17, 2017). This study used an analytical and descriptive method and used satellite data and images to finally analyze field data and observations. Images of Sentinel Satellite 1 were used to identify and monitor the qualitative changes in water resources on Nov. 10, 2017, and Nov. 17, 2017; the images were then prepared and analyzed after being initially processed and pre-processed in SNAP SANTINEL software. After the necessary investigation of the factors affecting the quality of water resources in the studied region, including precipitation, winds, etc. 10 spots (places) of the region under study on the images before and after the earthquake were examined based on the dispersion range of the reflectance of the desired bands on the two said dates, and the relationship between the spots with the qualitative changes and the faults, lithology, slope, and the slope direction of the region were analyzed. Later, the STARFM algorithm was used to combine the images of the Landsat 8 satellite with MOD09 products and the MODIS satellite following the earthquake to monitor qualitative changes. For this, the spectral signature profile of two levels (pixel and total drinking water resources) of the city of Sarpol Zahab (Sarab Garm) was used. Then, to reveal quality changes across the region, two stages were used to identify the qualitative changes.

First Stage: Identification of surface water resources, including 1: Creating the color combination of Bands 5-6-4; 2: Creating the color combination of RGB, 3: Using the NDVI index, and 4: Using the MNDWI index

Second Stage: 1: Comparing the reflectance of radar data before and after the earthquake, and 2: Using the STARFM algorithm

3- Study Findings

Using the STARFM algorithm in this study to monitor and investigate the qualitative changes in surface water resources helps determine the level of qualitative changes in the surface water resources in the area under study. Compared to other methods, this method had better performance and demonstrated qualitative changes well. Also, a combination of radar and optical data for the identification of surface water resources provides a good potential.

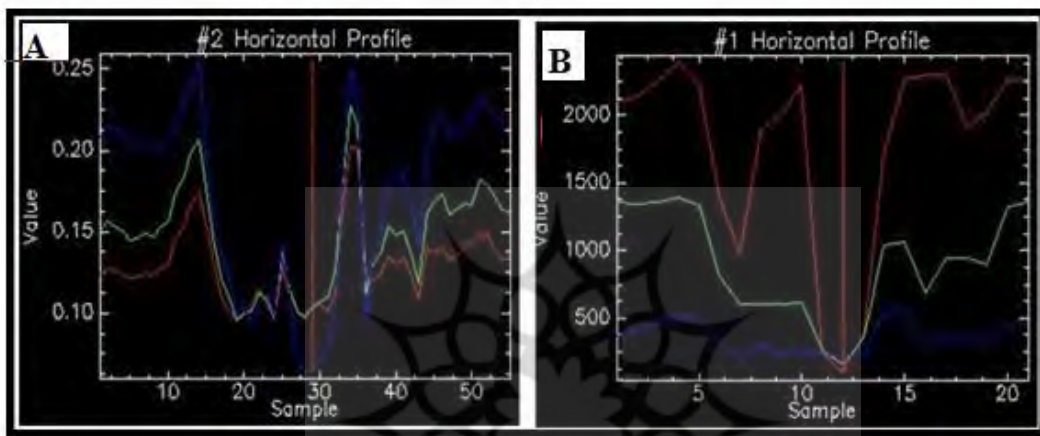


Figure 1: Reflectance profile at sarab garm of Sarpol Zahab (A: Reflectance profile at Sarab garm of Sarpol Zahab Before the earth quake, and B: Reflectance profile at Sarab Garm of Sarpol Zahab After the earthquake)

Results from comparing the reflectance of radar data indicated that this method did not fully demonstrate qualitative changes in high resolution, while this method can be acceptable only if it is validated with other methods and field operations.

4- Conclusions

Since old times, water has been key to human life. The occurrence of various crises in recent years in the country such as earthquakes has required paying special attention to post-crisis management. In this connection, securing the primary needs of the citizens of a city is a critical issue. No doubt, the negative impacts of earthquakes on the water resource quality have aggravated. The remote-sensing technology serves as a reliable method to analyze and interpret the qualitative changes of water, thanks to its accessibility of information, and low-cost and cost-saving advantages. This method has also proved to be highly accurate. Thus, this study monitors and investigates the qualitative changes in surface water resources following the earthquake of November 12, 2017, in the city of Sarpol Zahab using satellite (remote-sensing) data, suggesting severe qualitative changes in surface water resources after the earthquake in the region. Results showed that the earthquake caused severe qualitative changes, which consequently made it impossible to use water resources for the subsequent few days. Results also demonstrated that the earthquake had caused aftershocks, which displaced surface and sub-surface layers of the ground, resulting in the increased concentration of the anions and cations solution in water, due to the karstic location of the region. In sum, geological factors such as the role of faults in the region should be focused on. Considering its geological structure in Zagros and special geomorphology, Sarpol Zahab City has various faults, with the highest water resource changes noted on the main path of the faults, which follow regional fault lines. From a geologically perspective, the Asmari Formation in the region under study is one of the outstanding formations of the sedimentary-structural state index of Zagros. This formation covers a significant span in Zagros and is the youngest reservoir rock of

hydrocarbons in Zagros, with the highest water resource changes across the region under study taking place in the lime Asmari Formation.

5-References

- Abdolmaleki, A., & Maleki, A. Khazaei, A. (2022). Monitoring the height displacement of the earth and analyzing its geomorphological effects using telemetry data. Remote sensing and geographic information system in natural resources. 12th year, number 4, winter 2022.
- Abdolmaleki, A., & Maleki, A. Khazaei, A. (2021). Remote monitoring of quantitative and qualitative changes in water resources caused by Sarpol Zahab-Ezgole earthquake. Dissertation for receiving a master's degree in the field of geography, geomorphology-geomorphology and environmental management. Razi University, Faculty of Literature and Human Sciences, Department of Geography. 2019
- Earthquake Report November 12, 2017 Sarpol-e Zahab, Kermanshah Province (Fifth Edition). Volume 1: Seismological Aspects. International Institute of Seismology and Earthquake Engineering.
- Maleki, Amjad. Khazaei, Ali. Abdul Maliki, Ali (2022). Evaluation of quantitative changes of surface water resources affected by Sarpol Zahab earthquake using satellite data. Remote sensing and geographic information system in natural resources. Thirteenth year, number one, spring 2022.
- Momipour, .M. (۱۴۰۰), Study of coastal water quality with Hyperion hyperspectral satellite images - A case study of Arvandkenar coast. Iranian Journal of Marine Science and Technology



مقاله پژوهشی



پایش تغییرات کیفی منابع آب سطحی متأثر از زلزله مطالعه موردی: زلزله ۲۱ آبان ۱۳۹۶ سرپل ذهاب-ازگله



علی عبدالملکی^۱، امجد ملکی^{۲*}، علی خزایی^۳



این مقاله به صورت دسترسی باز و با لایسنس CC BY NC کریتیو کامانز قابل استفاده است.



ارجاع به این مقاله: عبدالملکی، علی؛ ملکی، امجد؛ خزایی، علی (۱۴۰۲). پایش تغییرات کیفی منابع آب سطحی متأثر از زلزله مطالعه موردی: زلزله ۲۱ آبان ۱۳۹۶ سرپل ذهاب-ازگله. هیدرورژئومورفولوژی، ۱۰ (۳۵): ۳۳-۱۶.

DOI: 10.22034/HYD.2023.54570.1666



ایران از جمله کشورهایی است که بر روی کمرنگی زلزله واقع شده است و هر روزه اخباری پیرامون وقوع زلزله در کشور به گوش می‌رسد. زلزله علاوه بر تاثیرات مخرب سازه‌ای تاثیرات محیط زیستی نیز دارد که از آن جمله می‌توان به آلودگی منابع آبی اشاره نمود. در این پژوهش به پایش تغییرات کیفی منابع آب سطحی شهرستان‌های سرپل ذهاب-ازگله، در اثر رخداد زلزله ۲۱ آبان ۱۳۹۶ پرداخته شده است. در تحقیق حاضر جهت نیل به هدف فوق با استفاده از داده‌های متنوع ماهواره‌های سنتیل ۱ S_1A-IW-SLC، با بیس لاین مکانی ۱۰۰ متر)، داده‌های اپتیکی لندست ۸ (OLI) و تصاویر ماهواره‌ای مودیس، محصولات تصحیح شده (MOD09)، داده‌ها به گونه‌ای تصحیح گردیدند که بتوانند در کنار همدیگر در قالب یک دیتاست برای پردازش‌ها مورد استفاده قرار گیرند. در این پژوهش با استفاده از روش ترکیب تصاویر ماهواره‌ای (راداری و اپتیکی)، الگوریتم استرفا، امضای طیفی داده‌های سنتیل ۱ و بهره‌گیری از شاخص‌های سنجش از دوری (MNDWI، NDVI و ترکیب رنگی RGB)، منابع آبی منطقه مورد مطالعه شناسایی SNAP SANTINEL و ARC GIS و سپس تغییرات کیفی منابع آب سطحی متأثر از زلزله در محیط نرم‌افزار SNAP SANTINEL به دست آمده است. بررسی نتایج تغییرات کیفی منابع آب‌های سطحی نشان می‌دهد رخداد زلزله با ایجاد لرزه‌ها و پس لرزه‌ها باعث تکان خوردن و جابجایی لایه‌های سطحی و زیرسطحی زمین شده و با توجه به موقعیت کارستیکی، زمین شناختی و گسلی منطقه مورد مطالعه باعث افزایش غلظت محلول آنیون‌ها و کاتیون‌های منابع آب سطحی منطقه مورد مطالعه شده و تا چندین روز بعد از رخداد زلزله امکان استفاده از منابع آب وجود نداشته است. از دیگر نتایج این تحقیق می‌توان به نقش عوامل زمین شناختی اشاره داشت که در منطقه مورد مطالعه نقش گسل‌ها بسیار باز است به گونه‌ای که بیشترین تغییرات منابع آب در مسیر اصلی گسل‌های منطقه قرار داشته و از خطوط گسلی پیروی می‌کند. همچنین از لحاظ زمین‌شناسی بیشترین تغییرات منابع آب اتفاق افتاده در سطح منطقه مورد مطالعه بروی سازند آهک آسماری بوده است. از آنجا که اصلی‌ترین منبع تأمین آب شرب در استان کرمانشاه آب‌های زیرزمینی بوده لذا توجه بسیار ویژه و فوری به وضعیت آب‌های زیرزمینی ضمن آگاهی از منابع آبی جدید و مبارزه با بحران آب در بلندمدت و بعد از وقوع زمین لرزه بسیار ضروری است.

چکیده

کلیدواژه‌ها

زمین لرزه، الگوریتم استرفا،
تغییرات کیفی منابع آب،
SNAP SANTINEL ذهاب، غرب ایران.

تاریخ دریافت: ۱۴۰۱/۰۹/۳۰

تاریخ پذیرش: ۱۴۰۲/۰۴/۱۲

تاریخ انتشار: ۱۴۰۲/۰۴/۳۰

* نویسنده مسئول: امجد ملکی
رایانامه: a.maleki@razi.ac.ir

۱- علی عبدالملکی، دانشجوی مقطع دکتری ژئومورفولوژی، دانشگاه رازی، کرمانشاه، ایران.

۲- امجد ملکی، دانشیار (ژئومورفولوژی)، دانشگاه رازی، کرمانشاه، ایران.

۳- علی خزایی، کارشناس آزمایشگاه، دانشگاه رازی، کرمانشاه، ایران.

۱- مقدمه

یکی از تنگناهای اساسی دنیای امروز کافی نبودن آب برای مصارف گوناگون اعم از شرب، صنعت، کشاورزی و محیط‌های طبیعی است (قضاوی و رمضانی سربندی، ۱۳۹۶: ۱۱۱). آب پایه‌ای از زندگی و معیشت و کلید توسعه پایدار است (گوبی و اندرسون^۱، ۲۰۱۷: ۳). امروزه از مهمترین معضلات مرتبط با آب، آلودگی آبهای سطحی و زیرزمینی است (ولی اوغلی و ذاکری نیری، ۱۴۰۰: ۱۶۴). نیاز روزافزون انسان به آب از یکسو و کمبود آن از سوی دیگر، با خطرات متفاوتی نظیر افت سطح، کاهش میزان تغذیه به سبب نقصان بارندگی و آلاینده‌های طبیعی و غیرطبیعی و همچنین تأثیرات بلایایی طبیعی از جمله زلزله است (عبدالملکی و همکاران، ۱۴۰۱: ۴۱). زلزله علاوه بر اثرهای مخرب بر سازه‌هایی که به دست انسان ساخته شده‌اند، بر منابع آبی و چشممه‌ها نیز اثر منفی دارد (آمبراسیز^۲ و همکاران، ۲۰۱۱). بی‌شک اثرهای منفی زلزله بر منابع آبی هم به لحاظ کمیت و هم به لحاظ کیفیت به مراتب بیشتر شده است. اطلاع از وضعیت کیفی آبهای سطحی و زیرزمینی با استفاده از شاخص‌هایی که دست انسان ساخته شده‌اند، بر سازد تا ضمن استفاده از اطلاعات بدست آمده در موقع لزوم بتوان راهکارهای مدیریتی را اتخاذ نمود که کمترین آسیب به این منبع مهم و حیاتی وارد گردد که در این راستا سنجش از دور می‌تواند نقش مهمی را در ارزیابی کیفیت آب و مدیریت آن ایفا نماید. امروزه سنجش از دور به عنوان یک ابزار بسیار قوی مطرح بوده که جایگاه خاصی در پایش منابع طبیعی به خصوص پایش منابع آب دارد (مومی پور، ۱۳۹۴). استفاده از شاخص‌های طیفی و تکنولوژی‌های سنجش از دور برای کنترل و پایش کیفیت آب رودخانه‌ها، مخازن و آبهای زیرزمینی بسیار مقرن به صرفه بوده، خصوصاً هنگامی که نیاز به داشتن اطلاعات از چند منبع آبی در محدوده‌ای وسیع باشد (عبدالملکی و همکاران، ۱۴۰۱: ۴۳). یکی از موارد مهم برای دستیابی به هدف، انجام طبقه‌بندی با دقت بالا، به کارگیری تلفیق داده‌های حاصل از سنجنده‌های مختلف به منظور ادغام مزایای داده‌های اولیه و دستیابی به داده‌های با سطح اطلاعات بسیار بالاتر از داده‌های اولیه است. در این خصوص تلفیق داده‌های راداری و اپتیکی اخیراً موردنموده زیادی قرار گرفته که این به دلیل قابلیت‌های منحصر به فرد داده‌های راداری از جمله قابلیت تصویربرداری در تمام ساعات شباه روز، حساسیت به رطوبت خاک، قابلیت تصویربرداری در شرایط مختلف جوی و غیره است (عبدالملکی و همکاران، ۱۴۰۱: ۴۲). نتایج حاصل از چندین طرح تحقیقاتی داخلی و خارجی نقش مثبت سنجش از دور را در مطالعات منابع آب تائید کرده است. که در متن زیر به چند مورد از تحقیقات مرتبط اشاره خواهد شد.

سروان و بابان (۱۳۹۵)، با استفاده از داده‌های TM ماهواره‌لنست، پارامترهای کیفی آب مانند مواد جامد معلق، شوری، فسفر و دما را مورد مطالعه قرار داده و با استفاده از داده‌های میدانی رابطه بین باندهای سنجنده TM و پارامترهای کیفی آب را مدل‌سازی کرد. وی از این مدل‌ها برای پیش‌بینی و تهیه نقشه پارامترهای کیفی آب استفاده نمود. هلوگر و همکاران^۳ (۲۰۰۴)، با استفاده از داده‌های دورکاوی به بررسی کیفیت آب در مناطق اطراف نیویورک پرداخته است. داده‌های به دست آمده از تحقیقات زمینی با داده‌های حاصل از تصاویر ماهواره‌ای سنجنده‌های لنست و مودیس مقایسه شد که نتایج حاصله تناسب تجمع کلروفیل با مقدار رنگ سبز و قرمز بازتابانده شده در تصاویر لنست را نشان می‌دهد. همچنین ماتسوکا^۴ و همکاران (۲۰۱۱) در مطالعه‌ای مربوط به کشور ژاپن از داده‌های ماهواره‌ای سنجنده چند طیفی استر در مدل‌سازی داده دما استفاده کرده و نتایج قبل قبولی به دست آورده‌اند. انتخاب سنجنده استر از میان سنجنده‌های استفاده شده برای بررسی منابع آبی دلیل بالا بودن نسبی توان تفکیک مکانی (۹۰، ۳۰، ۱۵ متر)، و طیفی (باند ۱۵) آن است. همچنین آرن کول کرانی^۵ (۲۰۱۱) با استفاده از پارامترهای اندازه‌گیری کیفیت آب از هفت ایستگاه زمینی و داده‌های تصاویر لنست برای ارزیابی پارامترهای کیفیت آب در شرق تگزاس پرداخته و مدل رگرسیون برای ارزیابی همبستگی بین پارامترهای کیفی آب با بازتاب طیفی استفاده شده است. در پژوهشی دیگر تورک و سان^۶ (۲۰۱۵)، در پژوهش خود مبنی بر هیدرورژئومورفولوژی زلزله به این نتیجه رسیدند که پاسخ‌های هیدرولوژیکی به زمین لرزه‌ها مانند افزایش جریان، تغییرات کیفی منابع آبی، تغییرات سطح آب و تغییر در فرکانس فوران آبغشان اغلب منعکس کننده تغییرات نفوذپذیری ناشی از امواج لرزه‌ای است. ماهیت پویای نفوذپذیری، همانطور که توسط پدیده‌های هیدرولوژیکی لرزه نگاری نشان داده شده است. بوج و همکاران^۷ (۲۰۱۶)، کیفیت آب آشامیدنی پس از زمین‌لرزه در دره کشاندو را مورد مطالعه قراردادند که به این نتیجه دست یافتند که بعد از زمین‌لرزه‌های عظیم، خصوصیات آب از جمله کیفیت آب و سطح آب ناگهان تغییر می‌کند که این مشاهدات در اطراف مناطق اتفاق افتاده کاملاً مشخص است. در ادامه روند تحقیقات مومی پور (۱۳۹۵)، با استفاده از تصاویر ماهواره‌ای فرا طیفی در بخش کوچکی از شمال خلیج فارس با ایجاد مدل بیو-اپتیکال پارامترهای کلروفیل، تریپ‌تون و کدورت آب را مورد سنجش قرار Heperion داده. به مطالعه کیفیت آبهای ساحلی ارونده‌کنار پرداخت. نتایج تحقیق نشان‌دهنده انتباق قابل قبول داده‌های هدایت الکتریکی حاصل از تصاویر سنجنده استر و تحلیل‌های رگرسیونی مکانی با داده‌های کنترلی (RMS: 0/76) است. در مطالعه دیگری در این زمینه حسینی و همکاران (۱۳۹۶)،

1 -Gopi and Anderson

2 -Ambraseys et al

3- Heloger et al

4 -Matsuoka et al

5 -Arne Cole Craney

6 -Turker and Sun

7 -Boj et al

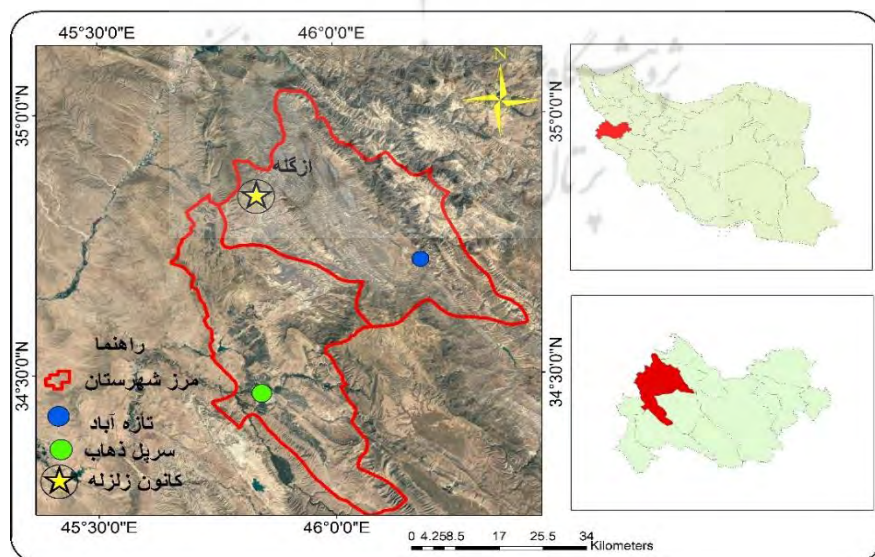
با استفاده از تصاویر ماهواره‌ای سنجنده لندست ۵ و بررسی کمیت‌های آماری برای ترکیب باندها، به بررسی نحوه تمیز آب‌شور، آب ورودی رودخانه و فصلی در منطقه دریای عمان پرداخته‌اند که در این تحقیق با استفاده از رفتار طیفی آب‌شور و شیرین، ناحیه فرکانسی قابل تمیز این دو پدیده، شناسایی شد و با بررسی کمیت‌های آماری همچون؛ شاخص فاکتور بهینه، ضریب همبستگی و انحراف معیار بهترین ترکیب رنگی که این دو پدیده را به خوبی تمیز می‌دهد، محاسبه نمودند. نتایج برای منطقه دریای عمان با استفاده از سنجنده لندست ۵ که ترکیب ۵۹۱ با شاخص فاکتور بهینه ۶۱/۳۵۹۰۶، ضریب همبستگی ۰/۲۸۰۲۱۹ و انحراف معیار ۱۳۹/۹۱۲۱ بهترین ترکیب رنگی که دربردارنده بیشترین اطلاعات در مورد این پدیده بوده و برای بالا بردن کیفیت تصویر از بالاترین توان تصویری لندست ۲۸۸ (بیتی) به کمک نمودار هیستوگرام بررسی شد. استفاده از تکنیک شاخص فاکتور بهینه به صورت کیفی می‌تواند بهترین تصویر رنگی مجازی برای منطقه مورد هدف را ارائه دهد.

آنچه که واضح است دسترسی به آب شرب سالم قطعاً جزء چند نیاز اولیه هر انسان برای بقاء می‌باشد. با توجه به اینکه ایران و استان کرمانشاه دارای موقعیت زلزله خیز است. توجه و بررسی به این امر که بعد از رخداد هر زلزله منابع آبی از لحاظ کیفی دچار چه تغییراتی می‌شوند اهمیت بسیار بالایی در شناسایی محدوده متاثر و کاهش پیامدهای در منطقه فوق خواهد شد. تحقیقات زیادی در ارتباط با استخراج پهنه‌های آبی و شاخص‌های آن انجام شده است اما در جهت پایش و بررسی تغییرات کیفی منابع آب تحقیقات بسیار محدوده بوده و بگونه‌ای انجام گردیده که داده‌های مورد استفاده، یک تصویر از یک ماهواره یا یک مدل و الگوریتم بوده که در خیلی از مطالعات نتوانسته نتیجه مورد قبولی را به دست آورد. به همین دلیل، این پژوهش سعی دارد با استفاده از ترکیب و تلفیق تصاویر (راداری و اپتیکی)، ترکیب تصاویر راداری (استفاده از بازتاب رفلکتسنس داده‌های راداری SAR مربوط به ۱۱/۱۰/۲۰۱۷ قبل از زلزله و ۱۱/۱۷/۲۰۱۷ بعد از رخداد زلزله)، و تلفیق تصاویر مودیس و لندست ۸ (الگوریتم STARFM) برای شناسایی و پایش تغییرات کیفی منابع آب سطحی بعد از رخداد زلزله سریل ذهب - از گله مطلوب‌ترین نتیجه را به دست آورد.

۲- مواد و روش

۲-۱- معرفی منطقه مورد مطالعه

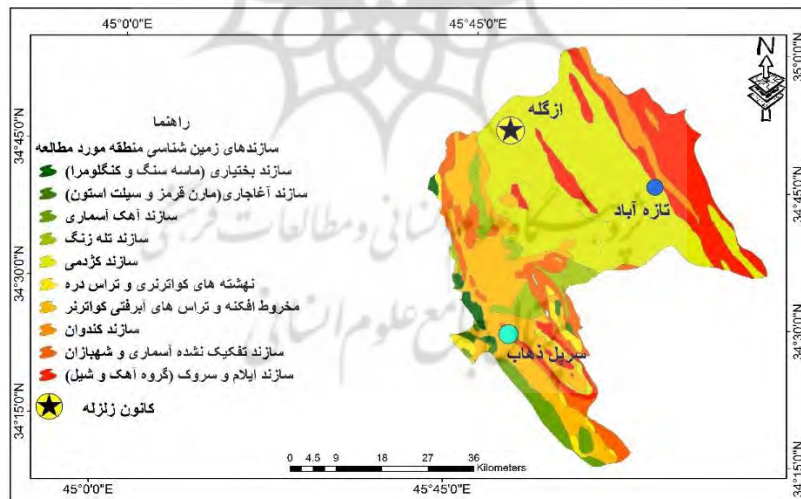
منطقه مورد مطالعه شامل دو شهرستان ثلات باباجانی و سریل ذهب است. شهرستان سریل ذهب با موقعیت ۴۵ درجه و ۳۰ دقیقه تا ۴۶ درجه طول شرقی و ۳۴ درجه و ۳۰ دقیقه تا ۳۵ درجه عرض جغرافیایی بوده و دارای پنجم دهستان است که شامل: ۱- قره‌بلاغ - ۲- بز میرآباد - ۳- قلعه شاهین - ۴- دشت ذهب - ۵- پا طاق (به شیوه). شهرستان ثلات باباجانی در موقعیت ۴۵ درجه و ۳۸ دقیقه وحدائق ۴۶ درجه و ۲۵ دقیقه حداکثر طول شرقی و ۳۴ درجه و ۳۴ دقیقه حدائق ۳۵ درجه و ۲ دقیقه حداکثر عرض شمالی در غرب و شمال غرب استان کرمانشاه واقع شده است که از شمال و شرق به شهرستان جوانرود، از جنوب به شهرستان‌های دلاهو و سریل ذهب و از غرب به شهرستان قصر شیرین و کشور عراق با مرز مشترک ۷۵ کیلومتر محدود شده است. مناطق مورد مطالعه در زون زاگرس چین خورده و در بخش شمال باختری و با ختر استان کرمانشاه قرار گرفته است (شکل ۱). شهرستان سریل ذهب از جمله‌ای وسیع تشکیل شده که اطراف آن را ارتفاعات و تپه‌ماهورهای احاطه کرده که باعث ایجاد دشت‌های حاصلخیز شده است (عبدالملکی و همکاران، ۱۴۰۱).



شکل (۱): موقعیت منطقه (محدوده) مورد مطالعه

Fig (1): The study area

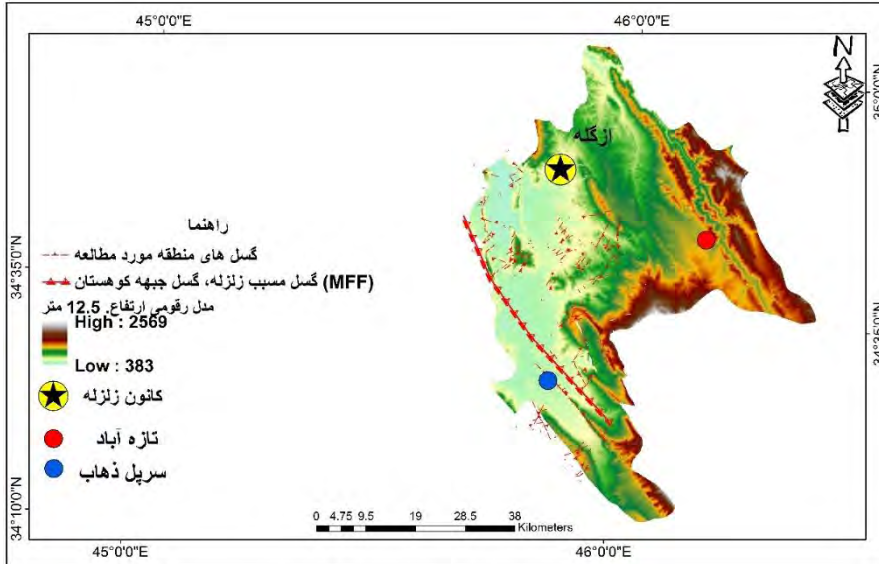
از نظر زمین‌شناسی منطقه مورد مطالعه در زون زاگرس چین‌خورده قرار دارد. روند عمومی این زون، تقریباً شمال غربی-جنوب شرقی بوده و جنس رسوبات آن عمدهاً کربنات است (علایی و همکاران، ۱۳۸۸). ساخت زمین‌شناسی این منطقه دارای ساختهای چینهای منظم، ساده و در بعضی نواحی معکوس است (مهران و هاشمی، ۱۳۸۷). مسیر لایه‌ها در راستای زاگرس چین‌خورده و با همان روند اصلی زاگرس امتدادیافته‌اند. در این میان اغلب شیب لایه‌ها بین ۱۰ درجه در ساختهای هم‌شیب و ملایم نواحی شمال منطقه مورد مطالعه تا ۵۰ درجه در ساختهای تک‌شیب (هوگ بک پا طاق و ناویدیس معلق ریجاب)، متغیر است (شکل ۲). از دیدگاه رژیومورفولوژی سازندهای زمین‌شناسی و به‌طور کلی سنگ‌های تشکیل‌دهنده سطح زمین به دو قسمت سنگ‌های سست و سخت تقسیم می‌شوند (مقیمی، ۱۳۹۲: ۵۶). در جدیدترین تقسیم‌بندی، کوههای زاگرس از شمال شرق به جنوب غرب، به چند قسمت اصلی تقسیم‌بندی شده‌اند که شامل پهنه‌های زاگرس مرتفع، زاگرس چین‌خورده، فروبار دزفول و منطقه پیش‌زرفای زاگرس و حاشیه شمالي پل‌فرم عربستان است. این پهنه‌های ساختاری توسط گسل‌های مهم از هم جدا شده‌اند. عملکرد گسل‌ها، ترتیب قرارگیری واحدهای سنگی را برهم زده و مسائل پیچیده‌ای را به وجود می‌آورد. گسل‌ها می‌توانند توپوگرافی سطح زمین را تغییر داده و بر نحوه توزیع منابع طبیعی همچون آب‌های سطحی تأثیرگذار باشند. گسل‌ها گاهی موجب تغییر مسیر رودها، پدید آمدن چشممه‌ها و ایجاد اشکال مختلف هیدرورژئولوژیکی گوناگونی می‌شوند (عبدالملکی و همکاران، ۱۴۰۱). گسل‌های اصلی منطقه از دو گروه امتدادگز و رورانه بوده که در شکل‌گیری ساختاری منطقه و تغییرات رخساره‌ای نقش اساسی ایفا نموده‌اند (تورکر^۱ و همکاران، ۱۹۹۹). مرز بین زاگرس مرتفع و زاگرس چین‌خورده ساده، گسلی است؛ که تحت عنوان گسل تراستی اصلی زاگرس نام‌گذاری شده است. این گسل در حاشیه شمالي گستره مورد مطالعه قرار دارد (شکل ۳). مرز پهنه ساختاری زاگرس چین‌خورده و فروبار دزفول نیز گسلی است که تحت عنوان گسل بالا رود نام‌گذاری شده است که بخشی از گسل پیشانی کوهستان است. گسل بالا رود در بیشتر مکان‌ها توسط رسوبات سنوزوئیک پوشیده شده است (عبدالملکی و همکاران، ۱۴۰۱). در ساعت ۲۱ و ۴۸ دقیقه (به وقت محلی) روز ۲۱ آبان ماه ۹۶ هجری شمسی، زمین‌لرزه‌ای با بزرگی گشتاوری $7/3$ در فاصله ۱۰ کیلومتری از گله و حدود ۳۷ کیلومتری شمال غرب شهرستان سرپل ذهاب از استان کرمانشاه، واقع در مرز ایران و عراق به وقوع پیوست. شبکه لرزه‌نگاری کشوری وابسته به موسسه رؤوفیزیک دانشگاه تهران، با توجه به استفاده از ایستگاه‌های محلی، به‌ویژه قرائت‌های فاز سه ایستگاه واقع در کشور عراق، کانون زمین‌لرزه را در مختصات $34^{\circ}77'N$ و $45^{\circ}76'E$ نمود که از دقت مطلوب‌تری برخوردار است. بر اساس آخرین مکان‌یابی صورت گرفته، عمق کانونی زمین‌لرزه حدود ۱۸ کیلومتر برآورد شده است (چی یو وانگ، ۱۹۹۹). کانون سطحی و سازوکار کانونی زمین‌لرزه ۲۱ آبان سرپل ذهاب حکایت از این دارد که گسل مسبب این زمین‌لرزه یکی از قطعه‌های با راستای شمال-شمال غرب گسل جبهه کوهستان (MFF) است که با زاویه بسیار کم (۱۵) به سمت شرق شیب دارد (گزارش زلزله ۲۱ آبان ۱۳۹۶ سرپل ذهاب کرمانشاه، ۱۳۹۷: جلد پنجم).



شکل (۲). سازندهای زمین‌شناسی منطقه مورد مطالعه (منبع: نگارنده‌گان)
Fig (2): Geological formations of the studied area (Source: Authors)

1- Turker

2- Chi-Yuen Wang



شکل (۳). موقعیت گسل‌های منطقه مورد مطالعه و گسل جبهه کوهستان (Mff). (منبع: نگارندگان).

Fig 2. Location of faults in the study area and mountain front fault (Mff). (source: authors)

در این پژوهش از نقشه زمین‌شناسی کشور، مدل رقومی ارتفاعی (۱۲.۵ متر)، از سایت (Earth DATA، ۱۰۰۰۰۰۰ سازمان زمین‌شناسی کشور)، و برای بدست آوردن تغییرات کیفی منابع آب سطحی از تصاویر سه ماهواره، لندست ۸ (۲۰۱۷/۱۱/۱۰)، سنتیل ۱ (۲۰۱۷/۱۱/۱۷) و سری محصولات ماهواره مودیس (به تاریخ ۱۱/۱۱/۲۰۱۷ و ۱۱/۱۷/۲۰۱۷) استفاده گردید. با توجه به اینکه بعد از رخداد زلزله و قبل از اولین بارش در منطقه مورد مطالعه تصاویر ماهواره‌ای لندست ۸ وجود نداشت، با استفاده از الگوریتم STARFM، به تلفیق داده‌های مودیس (داده‌های بعد از زلزله) و لندست ۸ (تصویر قبل از رخداد زلزله) برداخته و الگوریتم STARFM برای باندهای انعکاسی مودیس و لندست اجرا شد. در تحقیق حاضر نزدیک بودن تاریخ اخذ تصاویر مدنظر قرار گرفته شد تا خطا ناشی از تغییرات درجات خاکستری حداقل شود. انجام مراحل عملی در این پژوهش در شکل (۵)، ارائه شده است.

۲-۲- الگوریتم STARFM

در این تحقیق برای پایش تغییرات کیفی منابع آب سطحی بعد از رخداد زلزله ۲۱ آبان ۱۳۹۶ از تصویر باند ۱ مودیس در تاریخ ۱۰ ماه ۱۱ سال ۲۰۱۷ و تصویر باند ۱ مودیس در تاریخ ۱۷ ماه ۱۱ سال ۲۰۱۷ و تصویر باند ۴ لندست در تاریخ ۱۱ ماه ۱۱ سال ۲۰۱۷ با هم ادغام شدند. تصویر لندست در تاریخ ۱۷ ماه ۱۱ سال ۲۰۱۷ خروجی این اجرا بود. همچنین تصویر باند ۲ مودیس در تاریخ ۱۰ ماه ۱۱ سال ۲۰۱۷ و تصویر باند ۵ مودیس در تاریخ ۱۷ ماه ۱۱ سال ۲۰۱۷ و تصویر باند ۴ لندست در تاریخ ۱۱ ماه ۱۱ سال ۲۰۱۷ با هم ادغام شدند. نتیجه تصویر لندست در تاریخ ۱۷ ماه ۲۰۱۷ و تصویر لندست ۸ به تاریخ ۱۰/۱۱/۲۰۱۷ استفاده گردید. الگوریتم STARFM برای باندهای انعکاسی مودیس و لندست طبق (جدول ۱)، اجرا شد.

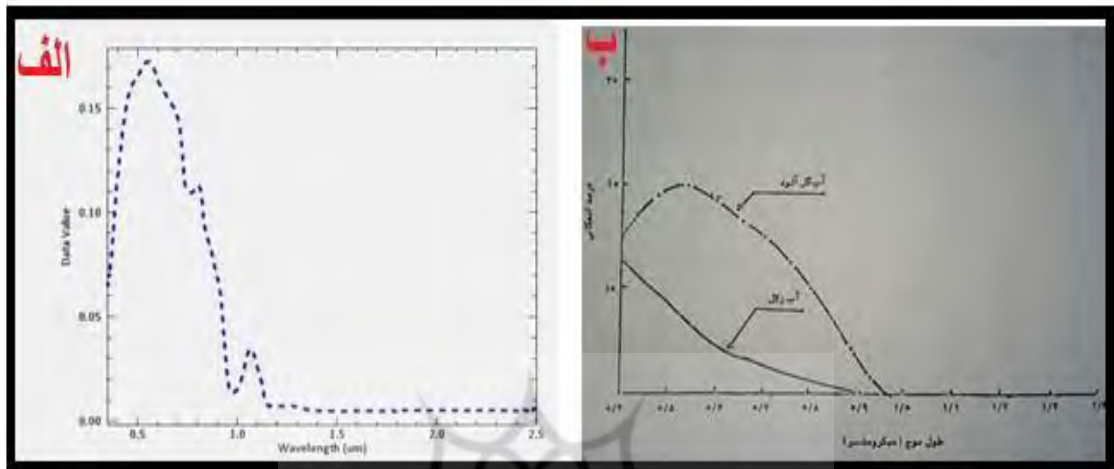
جدول (۱). الگوریتم STARFM برای باندهای انعکاسی مودیس و لندست. (منبع: نگارندگان).

Table (1). Starfm algorithm for Modis and Landsat reflection bands. (source: authors)

تاریخ پیش‌بینی			تاریخ مرجع		
۲۰۱۷/۱۱/۱۷			۲۰۱۷/۱۱/۱۰		
۲۰۱۷/۱۱/۱۷			۲۰۱۷/۱۱/۱۱		
داده	نوع باند	شماره باند	قدرت تکیک مکانی (متر)	طول موج(میکرومتر)	مودیس
لندست ۸	انعکاسی	۴	۳۰	۰/۶۳ - ۰/۶۸	
		۵	۳۰	۰/۸۴۵ - ۰/۸۸۵	
	حرارتی	۱۰	۱۰۰	۱۰/۶ - ۱۱/۱۹	
مودیس	انعکاسی (MOD011GA)		۵۰۰	۰/۶۲ - ۰/۶۷	
	حرارتی	۲	۵۰۰	۰/۸۴۱ - ۰/۸۷۶	
		MOD011A1	۱۰۰۰	-	

۳-۲- پاییش تغییرات کیفی منابع آب با استفاده از بازتابندگی و امضای طیفی منابع آب

آب بصورت کلی جذب کننده امواج است و نسبت بازتاب در آن در مقایسه با سایر پوشش‌های سطح زمین بسیار اندک است. بیشترین بازتاب آب در باند آبی طیف است و هرچه از باند آبی به سمت بخش مادون قرمز طول موج کوتاه حرکت می‌کنیم نسبت بازتاب به شدت کاهش پیدا می‌کند تا آنکه در بازه مادون قرمز میزان بازتاب آب به صفر میرسد. آب بیشتر از آنکه پدیده‌های مختلف را بازتاب کند جذب می‌نماید(شکل ۴). آب زلال انعکاس کمتری نسبت به آب گل آلود دارد و قسمت اعظم انرژی که بدان می‌رسد را جذب می‌نماید. میزان انعکاس، با افزایش طول موج کاهش می‌پابد تا اینکه در محدوده مادون قرمز نزدیک به صفر می‌رسد ولی آب گل آلود به دلیل مواد معلق و ناخالصی‌های خود، دارای انعکاس بیشتری نسبت به آب زلال است(شکل ۴).

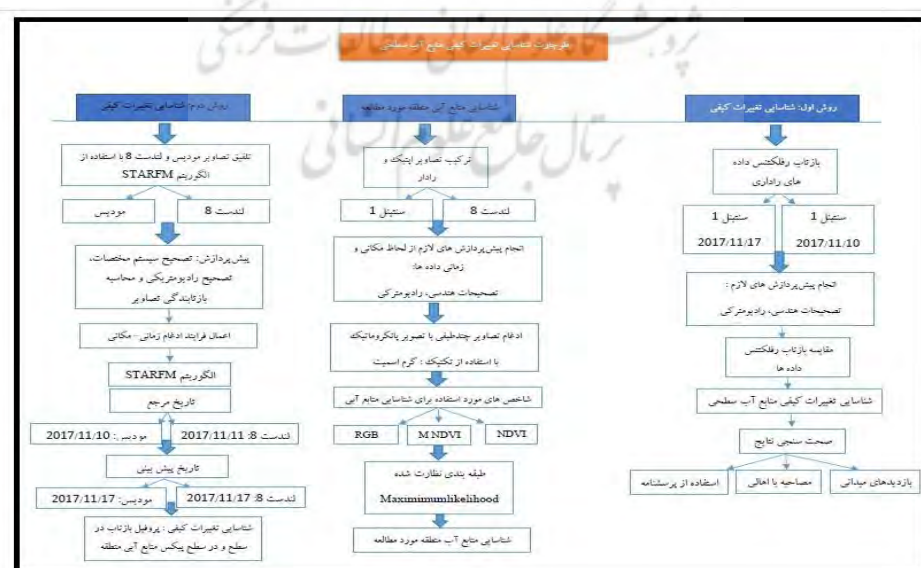


شکل (۴). **الف)** پروفیل رفتار طیفی آب. **ب)** پروفیل رفتار طیفی آب زلال و آب گل آلود(منبع: عبدالملکی و همکاران، ۱۳۹۹).

Fig (4). **A)** Spectral behavior profile of water. **b)** Spectral behavior profile of clear water and muddy water. (source: abdolmaleki et al., 2019)

۴-۲- پیاده‌سازی

به منظور بررسی میزان ارزیابی میزان تغییرات کیفی منابع آب سطحی متأثر از زلزله شهرستان سرپل ذهاب لازم است از پردازش داده‌های سنتینل-۱ به فرمت SLC با استفاده از نرم‌افزار SNAP SANTINEL، پردازش داده‌های لنست ۸ با استفاده از نرم‌افزار ENVI5.3 و تلفیق تصاویر لنست ۸ با محصولات مودیس از نرم افزار متلب استفاده گردید(شکل ۵، مراحل عملی پژوهش).



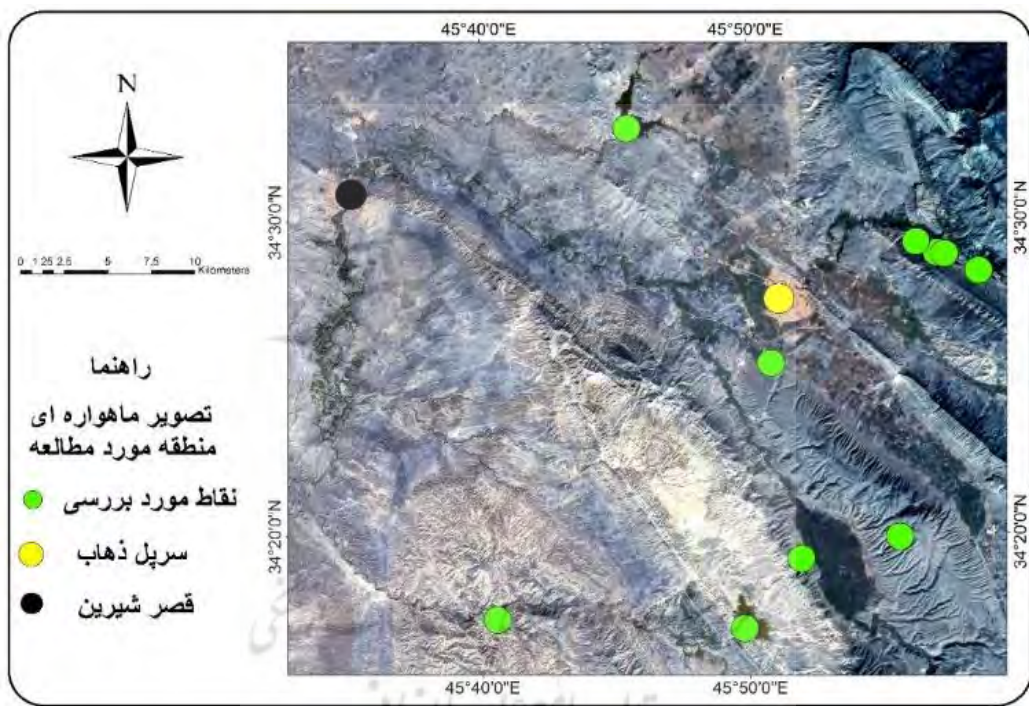
شکل (۵). مراحل پیاده‌سازی. (منبع: نگارندگان).

Fig (5). Implementation steps. (Source: authors)

این پژوهش به روش تحلیلی-توصیفی انجام شده و استفاده از نقشه‌ها و تصاویر ماهواره‌ای و درنهایت تجزیه و تحلیل داده‌ها و مشاهدات میدانی مبنای روش کار بوده است. بدین صورت که تصاویر مربوط به ماهواره سنتینل ۱، برای شناسایی و پایش تغییرات کیفی منابع آب مربوط به تاریخ ۲۰/۱۱/۱۷ و ۲۰/۱۲/۱۷ استفاده و پس از پردازش‌ها و پیش‌پردازش‌های اولیه در نرم افزار SNAP SANTINEL (نرم افزار تخصصی تصاویر سنتینل) تصاویر آماده و مورد تجزیه و تحلیل قرار گرفتند و پس از بررسی‌های لازم در مورد فاکتورهای موثر بر کیفیت منابع آب در منطقه مورد مطالعه از جمله بارندگی، باد و... ۱۰ نقطه (مکان) بصورت پراکنشی در منطقه مورد مطالعه بروی تصاویر قبل و بعد از رخداد زلزله، بر اساس رنج پراکنش بازتاب باندهای مورد نظر در دو تاریخ مذکور مورد بررسی قرار گرفته شده است (شکل ۶). و ارتباط نقاط دچار تغییرات کیفی با گسل‌های منطقه، لیتوژئی، شب و جهت شب مورد تجزیه و تحلیل قرار گرفته است. در ادامه با استفاده از الگوریتم STARFM، تصویر ماهواره لندست ۸ با محصولات (MOD09)، ماهواره مودیس مربوط به بعد از رخداد زلزله ترکیب و برای پایش تغییرات کیفی از الگوریتم استرفام استفاده گردید. به همین منظور از پروفیل اضای طیفی در دو سطح (پیسکل، و کل منبع آب شرب) شهرستان سرپل ذهاب (سراب گرم)، استفاده شده است. سپس برای نمایان شدن تغییرات کیفی در سطح منطقه با استفاده از دو مرحله به شناسایی تغییرات کیفی پرداخته شده است:

مرحله اول: شناسایی منابع آب سطحی شامل: ۱- ایجاد ترکیب رنگی باندهای ۴-۵-۶، ۲- ایجاد ترکیب رنگی RGB، ۳- استفاده از شاخص MNDWI، ۴- استفاده از شاخص STARFM.

مرحله دوم: ۱- مقایسه بازتاب رفلکتسن داده‌های راداری قبل و بعد از رخداد زلزله، ۲- استفاده از الگوریتم NDVI.



شکل (۶). موقعیت نقاط انتخاب شده بروی تصویر ماهواره‌ای لندست ۸. (منبع: نگارندگان).

Fig (6). The location of the selected points on the Landsat 8 Satellite Image. (Source: Authors)

۵-۲- پیش‌پردازش تصاویر ماهواره‌ای

پیش از آنکه هر نوع داده ورودی در اجرای الگوریتم تلفیق و ترکیب تصاویر وارد شود، اعمال یکسری پیش‌پردازش‌ها، به دلیل اخذ داده‌های موردنظر در زمان‌ها و سنجنده‌های متفاوت و اختلافات تصاویر از نظر قدرت تفکیک رادیومتریکی و مکانی با یکدیگر بر روی آنها ضروری است از جمله، تصحیح هندسی، تصحیح رادیومتریک و...

۱-۵-۲- تبدیل ارزش پیکسل به رادیانس طیفی در بالای اتمسفر در سنجنده

تصاویر ماهواره‌ای لندست به صورت عدد دیجیتال DN است. یعنی هر پیکسل یک عدد دیجیتال خاص بسته به قدرت تفکیک رادیومتریک سنجنده را نمایش می‌دهد. در لندست ۸ قدرت تفکیک رادیومتریک ۱۶ بیت است به این معنی که پیکسل‌ها ارزشی بین ۰ تا ۶۵۵۳۶ دارند. به منظور پردازش بروی تصاویر ماهواره‌ای و تبدیل DN ها به بازتاب در سطح زمین، ابتدا باید DN ها به رادیانس طیفی تبدیل شوند، سپس رادیانس طیفی به

بازتابش در بالای اتمسفر تبدیل شود و درنهایت بازتابش در بالای اتمسفر به بازتابش در سطح زمین تبدیل شود. برای تبدیل DN به تابش در سنجدنده لندست ۱ با توجه به رابطه (۱) استفاده می‌شود.

$$L \square \square M L \square Q_{CAL} \square L A \square \square \quad (1)$$

L رادیانس طیفی در بالای اتمسفر در سنجدنده، ML فاکتور تبدیل ضربی، Q_{CAL} مقادیر پیکسل محصول استاندارد کوانتیزه شده و کالیبره شده (DN)، $L A$ ضربی تبدیل جمعی است. در جدول (۲) مقادیر ضربی‌های ضربی و جمعی تابش در بالای اتمسفر برای باندهای مختلف سنجدنده OLI/TIRS ارائه شده است.

جدول (۲). مقادیر ضربی‌های ضربی و جمعی برای باندهای مختلف سنجدنده OLI/TIRS (منبع: عبدالملکی و همکاران، ۱۳۹۹).

Table (2). Multiplicative and Cumulative Coefficient Values for Different OLI/TIRS Measuring Bands
(Source: Abdolmaleki et al., 2019)

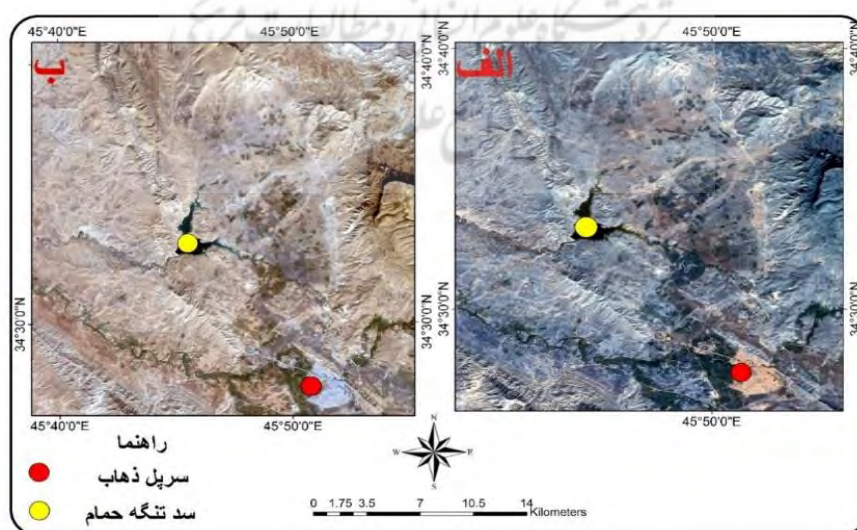
ضربی	باند ۱	باند ۲	باند ۳	باند ۴	باند ۵	باند ۶	باند ۷	باند ۸	باند ۹	باند ۱۰	باند ۱۱
ML	0/0334	0/0245	0/0116	0/0526	0/0156	0/063	0/0102	0/.128	0/013	0/0129	0/0334
AL	-64/5	-66	-51/3	-60/8	-31/4	-7/8	-2/63	-58/1	-12/2	1/0	1/0

۲-۵-۲- ترکیب تصاویر اپتیک(لندست ۸) و تصویر رadar(سنتینل ۱)، برای شناسایی منابع آبی

در این راستا استفاده از داده‌های ماهواره‌ای و روش ترکیب تصاویر، دیتاهای را به گونه‌ای یکسان‌سازی می‌کنیم که بتوانند در کنار همدیگر در قالب یک دیتاست برای پردازش‌ها مورداستفاده قرار بگیرند.

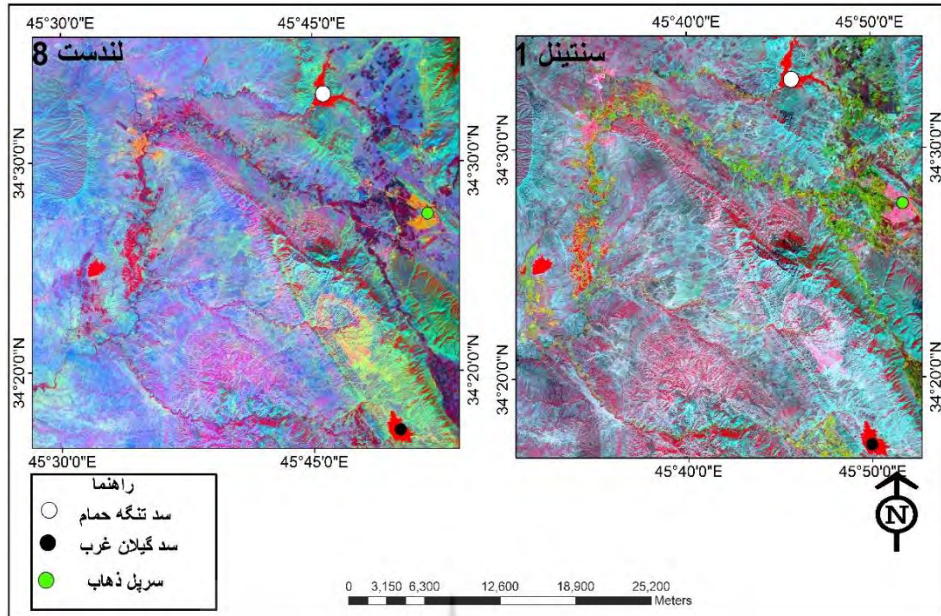
۲-۵-۳- ادغام تصاویر چند طیفی با تصویر پان کروماتیک

تکنیک‌های ادغام تصاویر ماهواره‌ای به منظور بالا بردن قدرت تفکیک مکانی و طیفی استفاده می‌شود. این تکنیک‌ها در ۴ سطح؛ سیگنال، پیکسل، ویژگی و تصمیم گیری، تصاویر را باهم ادغام می‌کنند. یکی از معمول ترین روش‌های ادغام تصاویر، ادغام در سطح پیکسل است که برای بهبود کیفیت تصاویر ماهواره‌ای ارائه شده است. در این تحقیق برای بالا بردن تفکیک مکانی تصویر لندست و کم کردن اختلاف جزئیات مکانی بین دو تصویر لندست ۸ و سنتینل ۱، با استفاده از روش گرم اسمیت باندهای مالتی اسپکتروال تصویر لندست با باند پانکروماتیک فیوژن کرده و به توان مکانی ۱۵ متر رساندیم (شکل ۷)، بعد از کم کردن اختلاف مکانی بین دو تصاویر، دیتای رadar کوریجستر شده تهیه و برای کاهش اثر نویز اسپیکل از طریق فیلترهای موجود (کانگلوشن مورفولوژی)، بروی دیتای کوریجستریک اعمال و در نهایت برای داشتن یک دیتاست کامل، دیتای کوریجستر شده با دیتای اپتیکال از طریق فرایند لاير استک ترکیب گردید.



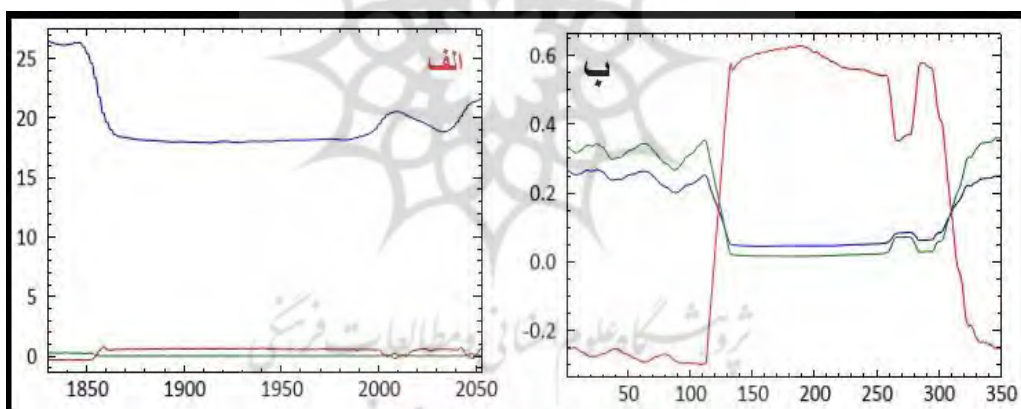
شکل (۷). تصویر رنگی RGB **(الف)** تصاویر چند طیفی و **(ب)** تصاویر ادغام شده با تصویر پن کروماتیک. (منبع: نگارندگان).
Fig (7). RGB color image **a** multispectral images and **b** multispectral images merged with panchromatic image. (source: authors).

در ادامه ترکیب تصاویر شاخص نرمال شده NDVI، و سپس شاخص MNDWI بروی تصاویر اعمال گردید. (شکل ۸ و شکل ۹ مقدار عددی شاخص Mndwi را نمایش می‌دهد).



شکل(۸). شاخص M NDWI بروی تصویر لندست ۸ و سنتینل ۱(بارزسازی منابع آبی). (منبع: نگارندگان).

Fig (8). Mndwi index on Landsat 8 and Sentinel 1 images (highlighting of water resources). (source: authors).



شکل(۹). رنج عددی شاخص M NDWI بروی تصاویر. الف) لندست ۸. ب) سنتینل ۱ (منبع: نگارندگان).

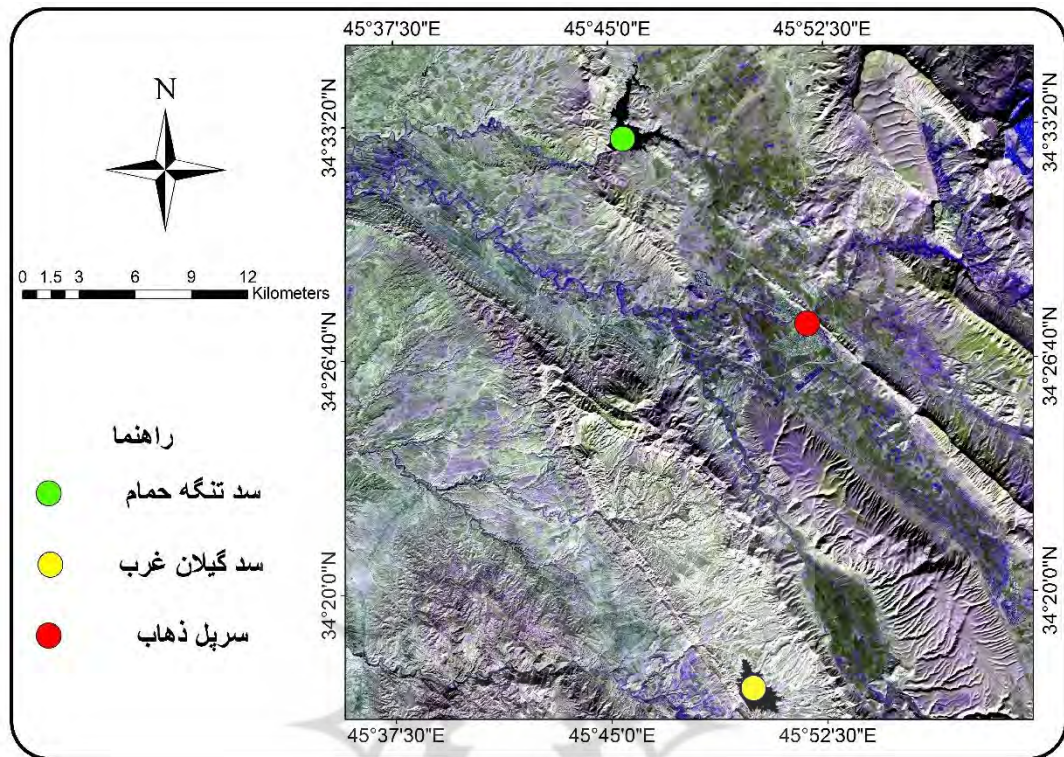
Fig (9). The numerical range of M NDWI index on images. a) Landsat 8. b) Sentinel 1 (source: authors).

۴-۵-۲- شناسایی منابع آب سطحی با استفاده از ایجاد ترکیب رنگی RGB از تصاویر لندست

در مدل رنگ RGB هر رنگ به صورت مؤلفه‌های طیفی اولیه قرمز، سبز و آبی ظاهر می‌شود. در مدل رنگ افزایشی هر رنگ ترکیبی از رنگ‌های قرمز، سبز و آبی است. ترکیب‌های باندی به منظور تفسیر بصری استفاده می‌شوند. هر باند با یکی از مؤلفه‌های رنگ قرمز، سبز و آبی نسبت داده شده و به صورت تصویر رنگی RGB نمایش داده می‌شود. هر ترکیب رنگی برخی از پوشش‌ها بهتر از دیگر تفکیک‌ها از هم متمایز می‌کند. در این تحقیق از ترکیب باند رنگ طبیعی (۴-۵-۶) که در آن ویژگی‌ها و مرز منابع آبی مشخص‌تر است استفاده شده است.

۴-۶-۵-۲- ترکیب باندهای ۴-۵-۶ برای تشخیص بهتر و دقیق‌تر مرزهای منابع آب

این ترکیب مرزهای آب را باکیفیت‌تر ارائه می‌دهد و جزئیاتی که به‌آسانی در باندهای مرئی به‌تهابی آشکار نیست را بارز می‌کند. دریاچه‌های داخلی و رودخانه‌ها را می‌توان با دقت بیشتری مشخص کرد(شکل ۱۰).



شکل(۱۰). ترکیب باندی ۴-۶-۵ برای تشخیص دقیق‌تر مرز منابع آب. (منبع: نگارندگان).

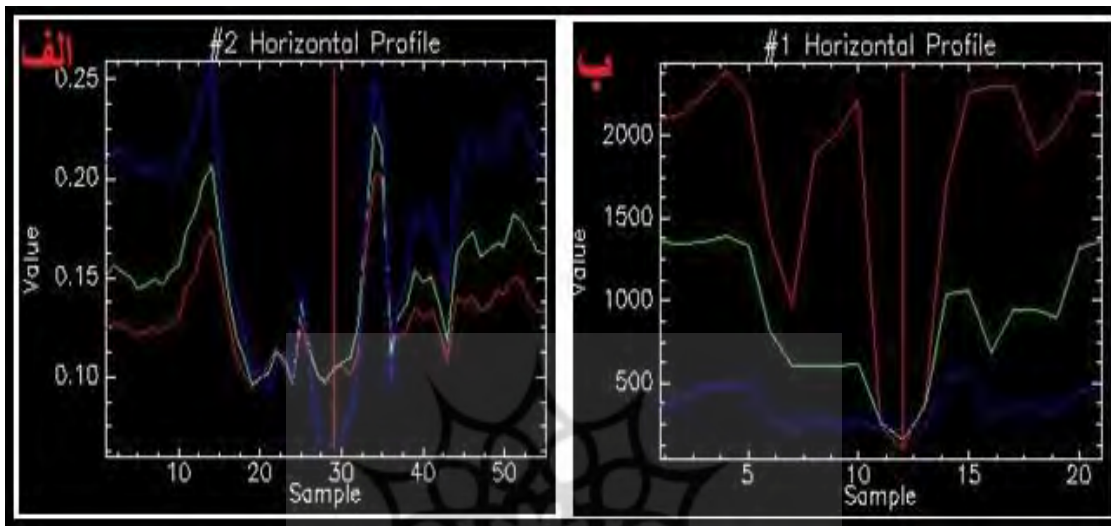
Fig (10). Band composition 4-6-5 for more accurate identification of water resources boundary

۷-۵-۲- تلفیق تصاویر مودیس و لندست ۸ با استفاده از الگوریتم STARFM برای شناسایی تغییرات کیفی منابع آب

با توجه به اینکه بعد از رخداد زلزله و قبل از اولین بارش در منطقه مورد مطالعه تصاویر ماهواره‌ای لندست ۸ وجود نداشته، با استفاده از الگوریتم STARFM ، به تلفیق داده‌های مودیس(داده‌های بعد از زلزله) و لندست ۸ (تصویر قبل از بارندگی‌ها، روز قبل از رخداد زلزله) می‌پردازیم، با استفاده از این روش، داده‌های لندست ۸ بصورت روزانه تولید و برای پایش تغییرات کیفی منابع آب منطقه مورد مطالعه به تجزیه و تحلیل آن می‌پردازیم. در سال‌های اخیر، مفهوم ترکیب اطلاعات سنسوری از مجموعه‌های از تکنیک‌های بی‌قاعده به راهبردهای منظم علمی و مهندسی، تغییر پافته است. اصطلاحات مختلفی در ترکیب اطلاعات سنسوری مورد استفاده قرار می‌گیرند که هر یک معنی خاص خود را دارد. در این تحقیق، مساله فیوژن با تعریفی به صورت "ادغام اطلاعات به دست آمده از چندین منبع برای تولید یک داده‌ی واحد و یک پارچه"، مدنظر قرار گرفته است. سنجنده‌ی مودیس دارای قدرت تفکیک زمانی بسیار بالا است، به طوری که تصاویر آن به صورت روزانه برای هر ناحیه‌ای از زمین، می‌تواند مورد استفاده قرار گیرد. در مقابل، قدرت تفکیک مکانی آن بسیار پایین می‌باشد(قدرت تفکیک مکانی ۲۵۰، ۵۰۰ متر و ۱ کیلومتر)، با این وجود سنجنده‌ی لندست، دارای قدرت تفکیک مکانی بالا(۳۰ متر برای باندهای چندطیفی و ۱۵ متر برای باند پنکروماتیک)، و قدرت تفکیک زمانی پایین(۱۶ روزه) می‌باشد. بنابراین با ادغام زمانی مکانی سنجنده‌های لندست و مودیس، می‌توان تصاویری به دست آورد که به صورت روزانه و با قدرت تفکیک مکانی ۱۵ متر و یا ۳۰ متر، در دسترس هستند. این کار امکان پایش روزانه‌ی پدیده‌ها و یا عوارض را با قدرت تفکیک مکانی بالا فراهم می‌کند. سپس در مراحل بعدی مبانی ادغام زمانی مکانی و پیش‌پردازش‌های لازمه اعمال می‌گردد. برای تصاویر مودیس، محصولات تصحیح شده وجود دارد (MOD09) و به منظور تصحیح تصاویر لندست نیز می‌باشد از بسته‌های نرم افزاری موجود استفاده کرد. پس از تصحیح رادیومتریکی و محاسبه‌ی بازتابندگی در دو تصویر مذکور، می‌توان ادغام زمانی مکانی را انجام داد(ماهپور، ۱۳۹۵).

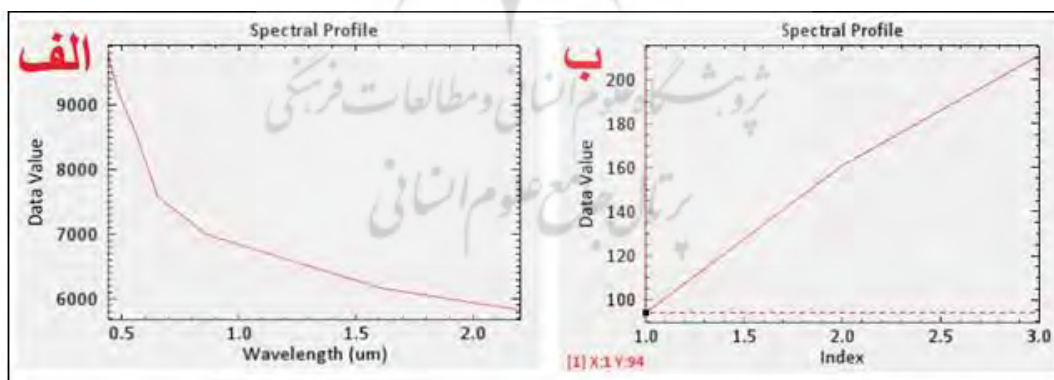
۳- یافته‌ها و بحث

تلقیق تصاویر لندست ۸ با سری محصولات مودیس استفاده از (الگوریتم استرفام) در پایش و بررسی تغییرات کیفی منابع آب سطحی در این پژوهش، ظرفیت مناسبی از قابلیت‌های آن در تعیین میزان تغییرات کیفی منابع آب سطحی در محدوده مورد مطالعه را معرفی کرد. این روش نسبت به سایر روش‌ها عملکرد بهتری را داشته و تغییرات کیفی را به خوبی نشان می‌دهد (شکل‌های ۱۱ و ۱۲)، پروفیل طیفی (امضای طیفی)، تغییرات کیفی منابع آب در سطح منبع آب شرب سرپل ذهاب (سراب گرم)، را نشان می‌دهد. (این پروفیل‌ها در سطح پیسکل و سطح کل منبع آب شرب منطقه مورد مطالعه بروی تصویر نهایی حاصل از الگوریتم استرفام و با استفاده از نرم‌افزارهای ENVI و SNAP SANTINEL به دست آمده است). همچنین روش ترکیب داده‌های راداری و اپتیک برای شناسایی منابع آب سطحی ظرفیت بسیار مناسبی را ارائه داده است.



شکل (۱۱). پروفیل بازتاب در سطح سراب گرم سرپل ذهاب. **(الف)** پروفیل بازتاب در سطح سراب گرم سرپل ذهاب قبل از رخداد زلزله. **(ب)** پروفیل بازتاب در سطح سراب گرم سرپل ذهاب بعد از رخداد زلزله

Fig (11). Reflection profile on the warm mirage surface of Sarpol Zahab. **A)** Reflection profile on the warm mirage surface of Sarpol Zahab before the earthquake. **b)** Reflection profile on the warm mirage surface of Sarpol Zahab after the earthquake



شکل (۱۲). پروفیل بازتاب در سطح پیکسل (سراب گرم سرپل ذهاب). **(الف)** پروفیل بازتاب رفلکتنس قبل از رخداد زلزله. **(ب)** پروفیل بازتاب رفلکتنس بعد از رخداد زلزله

Fig (12). Reflectance profile at the pixel level (warm mirage of Sarpol Zahab). **A)** Reflectance profile before the earthquake. **b)** Reflectance profile after the earthquake

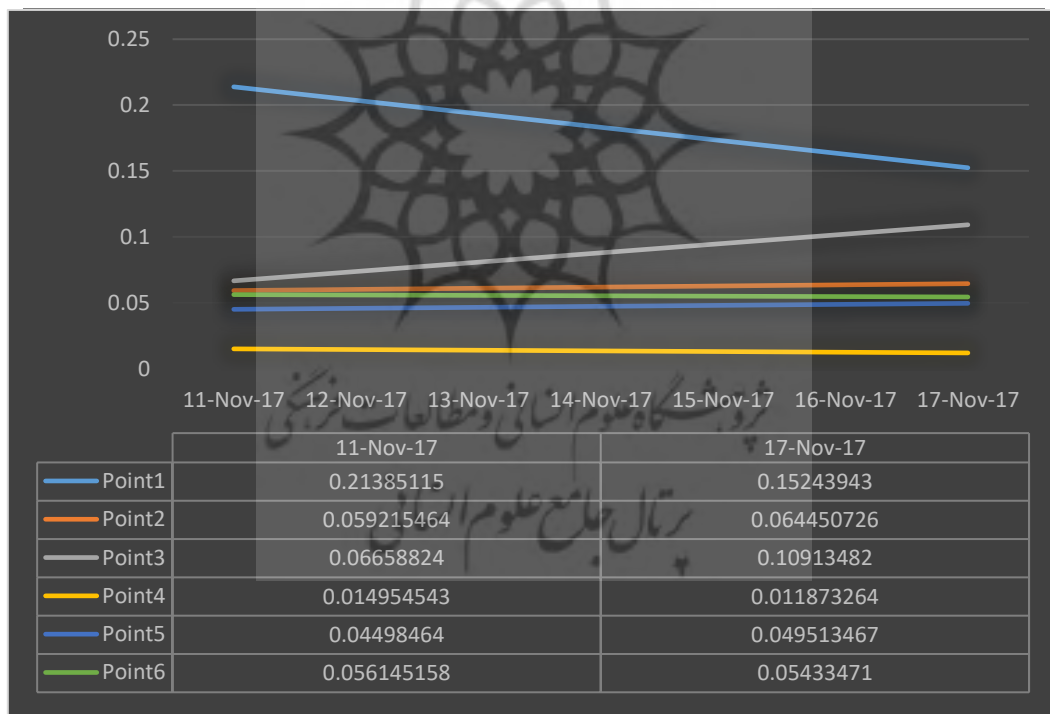
در ارتباط با روش مقایسه بازتاب رفلکتنس داده‌های راداری نتایج نشان می‌دهند که این روش به خوبی و وضوح کامل تغییرات کیفی را نشان نداده و استفاده از این روش در صورت صحت سنجی با سایر روش‌ها، عملیات میدانی و... می‌تواند قابل قبول باشد. (جدول ۴) نشان دهنده مقدار بازپراکنش

منابع آب در قسمت $\sigma_0 - vv$ که نشان دهنده تغییرات کیفی منابع آب سطحی منطقه مورد مطالعه با استفاده از نرم افزار SNAP و همچنین (شکل ۱۳)، تغییرات بازتاب رفلکتنس منابع آب (نمودار تغییرات کیفی منابع آب) در قسمت $\sigma_0 - vv$ (Sigma 0-vv) را نشان می‌دهد.

جدول(۴). میزان بازتاب رفلکتنس نقاط مورد بررسی در دو تصویر راداری(Sentinel 1) قبل و بعد از زلزله $\sigma_0 - vv$

Table (4). The mount of reflectance of the investigated points in two Radar images (Sentinel 1) before and after the earthquake, Sigma 0-vv

ردیف	نقاط مورد نظر	x	y	11 NOW 2017 SIGMA 0-Vv-	17 NOW 2017 SIGMA 0-Vv-
1	سراب گرم سرپل ذهاب	45.841111	34.423056	0.013298347	0.011732622
2	سد تنگه حمام	45.754167	34.548333	0.003711895	0.013721533
3	پیران	45.901944	34.477778	0.005051204	0.002704131
4	سدگیلان غرب	45.821944	34.283333	0.0041203597	0.012817926
5	رودخانه و روودی سد گیلان	45.668889	34.291111	0.14647982	0.013998046
6	دامنه های مشرف به روستای دیره	45.862778	34.319444	0.51782024	0.25206453
7	دامنه های مشرف به روستای درخشندۀ	45.918333	34.324722	0.010083801	0.013343477
8	پرورش ماهی داخل دره	45.991944	34.432222	0.03893716	0.04334146
9	رودخانه سیروان			0.051388185	0.018354066
10	پیران نقطه ۱	45.901944	34.477778	0.020535108	0.0270413



شکل(۱۳). بازتاب رفلکتنس منابع آب $\sigma_0 - vv$

Fig (13). The reflectance of water sources Sigma 0 -vv

۱-۳- صحبت سنگی

در ارتباط با صحبت نتایج بدست امده تغییرات کیفی منابع آب سطحی از مقایسه تصاویر رادار سنتینل ۱ و همچنین الگوریتم استرفاع برای تلفیق تصاویر مودیس و لندست ۸ از پیمایش میدانی، پرسشن و پاسخ با مردم منطقه (علی الخصوص مردم روستاهای و نواحی اطراف ۱۰ مکان که بصورت

پراکنشی بروی تصاویر را در انتخاب گردیدند)، بررسی‌های آزمایشگاهی تغییرات کیفی آب قبل و بعد از زمین لرزه ۲۱ آبان ۱۳۹۶ سرپل ذهاب و مشورت با متخصصین و محققین صاحب نظر در علم سنجش از دور (اپتیک و راداری)، استفاده شده است و نتایج دلالت بر اثبات یافته‌های تحقیق داشته و منابع آبی منطقه مورد مطالعه تا چندین روز بعد از رخداد زلزله قابل شرب و استفاده نبوده است.

۴-نتیجه گیری

آب از دیرباز برای بشر از اهمیت خاصی برخوردار بوده است و با افزایش جمعیت و صنعتی شدن جوامع و تغییر عادات فرهنگی و مصرفی آن‌ها، روزبه روز بر ارزش و اهمیت این مایع افزوده می‌شود. با توجه به وقوع بحران‌های مختلف اخیر در کشور نظیر زلزله نیاز مبرم می‌رود به مدیریت پس از بحران توجه ویژه ای مبذول داشت. در این رابطه تأمین نیازهای اولیه شهرهای شهرهای شهرهای از دور می‌گردد. زلزله علاوه بر اثرهای مخرب بر سازه‌هایی که به دست انسان ساخته شده‌اند، بر منابع آبی و چشممه‌ها نیز اثر منفی دارد. بی‌شک اثرهای منفی زلزله بر منابع آبی هم به لحاظ کمیت و هم به لحاظ کیفیت به مرتب بیشتر شده است. فن سنجش از دور به عنوان یک ابزار کارآمد برای تحلیل و تفسیر و مشخص کردن تغییرات کیفی منابع آب با توجه به در دسترس بودن اطلاعات، هزینه پایین، بسیار مقرون به صرفه بوده و از دقت بالایی برخوردار است. به همین منظور در این مطالعه به پایش و بررسی میزان تغییرات کیفی منابع آب سطحی بعد از زلزله ۲۱ آبان ۱۳۹۶ شهرستان سرپل ذهاب با استفاده از داده‌های ماهواره‌ای (سنجش از دور)، صورت گرفته است که نشان‌دهنده تغییرات شدید کیفی منابع سطحی آب بعد از رخداد زلزله در منطقه مورد مطالعه بوده است. نتایج نشان می‌دهند که در اثر رخداد زلزله منابع آب سطحی تامین کننده آب شرب منطقه مورد مطالعه کاملاً دچار تغییرات شدید کیفی شده و تا چندین روز بعد از رخداد زلزله امکان استفاده از منابع آب وجود نداشته است. نتایج بیان کننده این مطلب هستند که رخداد زلزله با ایجاد لرزه‌ها و پس‌لرزه‌ها باعث تکان خوردن و جابجایی لایه‌های سطحی و زیرسطحی زمین شده و با توجه به موقعیت کارستیکی منطقه این امر باعث افزایش غلظت محلول آنیون‌ها و کاتیون‌های موجود در آب شده است. از دیگر نتایج این تحقیق می‌توان به نقش عوامل زمین شناختی اشاره داشت که در این بین در منطقه مورد مطالعه نقش گسل‌ها بسیار بارز است. شهرستان سرپل ذهاب نیز با توجه به ساختار زمین شناسی زاگرس و ژئومورفولوژی خاص خود دارای گسل‌های متعدد و فراوانی است و بیشترین تغییرات منابع آب در مسیر اصلی گسل‌ها قرار داشته و از خطوط گسل‌های منطقه پیروی می‌کند. همچنین از لحاظ زمین‌شناسی منطقه مورد مطالعه، سازند آسماری یکی از سازندهای شاخص ایالت ساختاری رسوبی زاگرس است. این سازند در زاگرس گسترش قابل توجهی دارد و جوان‌ترین سنگ مخزن هیدرو کریں‌ها در زاگرس است که بیشترین تغییرات منابع آب اتفاق افتاده در سطح منطقه مورد مطالعه بروی سازند آهک آسماری بوده است.

۵-منابع

- Abdolmaleki, A., & Maleki, A. Khazaei, A. (2022). Monitoring the height displacement of the earth and analyzing its geomorphological effects using telemetry data. *Remote sensing and geographic information system in natural resources*. 12th year, number 4, winter 2022.
- Abdolmaleki, A., & Maleki, A. Khazaei, A. (2021). Remote monitoring of quantitative and qualitative changes in water resources caused by Sarpol Zahab-Ezgole earthquake. *Dissertation for receiving a master's degree in the field of geography, geomorphology-geomorphology and environmental management. Razi University*, Faculty of Literature and Human Sciences, Department of Geography. 2019
- Alaei, Taleghani.M. (2016). *Geomorphology of Iran*, Qoms Publishing House, December 2016.
- Ambraseys N.N., Melville C., A history of Persian earthquakes. 1982. No. of pages: 219. Price: £35. <https://doi.org/10.1002/eqe.4290110412>.
- Arun Kulkarni (2011) Iwater Quality Retrieval from Landsat TM Imagery. *Conference Organized by Missouri University of Science and Technology2011- Chicago, IL. December 2011Procedia Computer Science* 6:475-480 .DOI:10.1016/j.procs.2011.08.088.
- Baban, & Serwan M.J. 1995, "The use of Landsat imagery to map fluvial sediment discharge into coastal waters". *Marine Geology. Volume 123, Issues 3–4*, April 1995, Pages 263-270. [https://doi.org/10.1016/0025-3227\(95\)00003-H](https://doi.org/10.1016/0025-3227(95)00003-H).
- Bhargava DS, Mariam DW. Cumulative effects of salinity and sediment concentration on reflectance measurements. *International Journal of Remote Sensing*. Pages 2151-2159 | received 16 Aug 1990, Accepted 21 Dec 1990, Published online: 25 Jun 2007. <https://doi.org/10.1080/01431169208904258>.
- Earthquake Report November 12, 2017 Sarpol-e Zahab, Kermanshah Province (Fifth Edition). Volume 1: Seismological Aspects. International Institute of Seismology and Earthquake Engineering.
- Faraji, Mehdi Emergency water supply in large cities after the earthquake, the 3rd *International Conference on Comprehensive Crisis Management in Natural Disasters*, Tehran. <https://civilica.com/doc/33237/>.

- Guppy, L., Anderson, K., (2017). Water Crisis Report. United Nations University Institute for Water, Environment and Health, Hamilton, Canada.
- Hosseini Hamid., M, Akbari Nasab., M, Safarrad. T. Calculation of Optimal Index for Monitoring Water Pollution with Satellite Images, Case Study of Oman Sea Basin. *Hydrophysics*. <https://www.sid.ir/fa/journal/ViewPaper.aspx?id=345510>.
- Hellweger, F. Schlosser, Lall, J. Weissel., K. Use of satellite imagery for water quality studies in New York Harbor. *Estuarine, Coastal and Shelf Science*. Volume 61, Issue 3, November 2004, Pages 437-448. <https://doi.org/10.1016/j.ecss.2004.06.019>.
- Khorram, S. Cheshier, H. (1985). Remote Sensing of Water Quality in the Neuse River Estuary, North Carolina. *PHOTOGRAMMETRIC ENGINEERING & REMOTE SENSING*. Vol. 51, No. 3, March 1985, pp. 329-341. 1985 American Society of Photogrammetry.
- Matsuoka, Y, Kawamura, H, Sakaida, F, Hosoda, K (2011). "Retrieval of high-resolution sea surface temperature data for Sendai Bay, Japan, using the Advanced Spaceborne Thermal Emission and Reflection Radiometer (ASTER)". *REMOTE SENSING OF ENVIRONMENT*, 115(1), 205-213. DOI: 10.1016/j.rse.2010.08.018.
- Maleki, Amjad. Khazaei, Ali. Abdul Maliki, Ali (2022). Evaluation of quantitative changes of surface water resources affected by Sarpol Zahab earthquake using satellite data. *Remote sensing and geographic information system in natural resources*. Thirteenth year, number one, spring 2022.
- Momipour., M. (۱۴۰۶), Study of coastal water quality with Hyperion hyperspectral satellite images - A case study of Arvandkenar coast. *Iranian Journal of Marine Science and Technology*.
- Qadawi, R. Ramezani Sarbandi, M. (2016). Investigating changes in rainfall and withdrawal from underground water on quantitative and qualitative changes in aquifer water (case study: Rafsanjan plain). *Hydrogeomorphology*, No. 12, fall 2016, pp. 111-129
- Raj Pant, B. (2016) Post-earthquake drinking water quality in the Kathmandu valley: A pilot study, A 1 Am een J Me d S c i 2 0 1 6; 9 (2): 1 3 0 - 1 3 3 • USNational Library of Medicine enlistedJournal • IS SN0 9 7 4 - 1 1 4 3.
- Turker, M. San, B.T," Detection of collapsed buildings caused by the 1999 Izmit, Turkey earthquake through digital analysis of post-event aerial photographs". *International Journal of Remote Sensing*. Pages 4701-4714 | published online: 26 Nov 2010. <https://doi.org/10.1080/01431160410001709976>
- Vali Oghli, M. Zakari Neiri, M. (2021). Assessing the risk or sensitivity of pollution of surface water sources in the catchment area of Ahmadbiglou Dam using verastik model. *Hydrogeomorphology*. No. 28, year 8, autumn 2021, pp. 189-163

پژوهشگاه علوم انسانی و مطالعات فرهنگی
پرتال جامع علوم انسانی